

**ОСНОВЫ РАСЧЕТА ХАРАКТЕРИСТИК  
ТЕПЛООБМЕННИКОВ В УСЛОВИЯХ ТЕПЛОПОТЕРЬ  
В ОКРУЖАЮЩУЮ СРЕДУ**

Докт. техн. наук БАЙРАШЕВСКИЙ Б. А., инж. БОРУШКО Н. П.

РУП «БелТЭИ»

Конструкции теплообменников с двумя теплоносителями основаны, как правило, на долевых сочетаниях  $\beta_n$  и  $\beta_z$  двух принципиально противоположных схем движения теплоносителей относительно друг друга: прямоточной (инд.  $\Pi$ ) и противоточной (инд.  $Z$ ). В связи с этим особенности температурных режимов теплообменников, основанных на сугубо противоположных схемах « $\Pi$ » и « $Z$ », представляют практический интерес.

Уравнение теплового баланса теплообменников любого типа имеет вид

$$W_1(t'_1 - t''_1) = W_2(t''_2 - t'_2) + \Delta Q_t = Q_t + \Delta Q_t, \quad (1)$$

где  $W_1$ ,  $W_2$  – водяные эквиваленты «горячего» (инд. 1) и «холодного» (инд. 2) теплоносителей;  $t'_1$ ,  $t'_2$  и  $t''_1$ ,  $t''_2$  – температуры теплоносителей на входе и выходе из теплообменника;  $Q_t$  – полезная нагрузка теплообменника;  $\Delta Q_t$  – потеря теплоты от поверхности теплообменника в окружающую среду.

В качестве основных теплотехнических характеристик теплообменников типов « $\Pi$ », « $Z$ » и смешанных принимаем следующие показатели:

- тепловой коэффициент полезного действия теплообменника  $\eta_t$ , представляющий собой отношение тепловой энергии, воспринятой вторым «холодным» теплоносителем ( $W_2$ ), к тепловой энергии, отданной первым «горячим» ( $W_1$ ) теплоносителем, т. е.

$$\eta_t = Q_t(Q_t + \Delta Q_t)^{-1}; \quad (2)$$

- коэффициент использования в теплообменнике температурного потенциала «горячего» теплоносителя, т. е.

$$\eta_{nZ} = (t'_1 - t''_1)(t'_1 - t'_2)^{-1}; \quad (3)$$

- комплекс  $\Pi_F = kF$ , представляющий собой произведение коэффициента теплопередачи  $k$  на полную поверхность теплообмена  $F$ ;

- комплексы  $m_n$  и  $m_z$  для теплообменников типов « $\Pi$ » и « $Z$ » соответственно:

$$m_n = W_1^{-1} + W_2^{-1}; \quad (4)$$

$$m_z = W_1^{-1} - W_2^{-1}. \quad (5)$$

В настоящее время характеристики теплообменников типов « $\Pi$ » и « $Z$ » хорошо изучены и изложены в [1, 2]. В качестве недостатка этих материалов (в течение более полустолетия) следует считать игнорирование реально существующих теплопотерь  $\Delta Q_t$  со стороны теплообменников в окру-

жающую среду. Обозначим  $E_{\text{п}z} = \exp(-m_{\text{п}z}kF)$ . Тогда при  $\Delta Q_t = 0$ , т. е. при  $\eta_t = 1$ , упомянутые показатели  $\eta_{\text{п}z} = \eta^0_{\text{п}z}$  соответственно равны [1, 2]:

$$\eta_{\text{п}} = \eta^0_{\text{п}z} = L_{\text{п}} = \mathbf{\Pi} = W_2(W_1 + W_2)^{-1}(1 - E_{\text{п}}); \quad (6)$$

$$\eta_z = \eta^0_z = L_z = Z = (1 - W_1 W_2^{-1} E_z)^{-1}(1 - E_z). \quad (7)$$

В результате пренебрежения теплопотерями (при  $\Delta Q_t = 0$ ) такие понятия, как коэффициенты  $\eta^0_{\text{п}z}$  и комплекс  $\mathbf{\Pi}_F$ , оказываются не увязанными с реально существующим КПД теплообменника  $\eta_t = Q_t/(Q_t + \Delta Q_t)$ . Расчет «конечных» температур  $t'_1$  и  $t'_2$ , например, по заданным значениям первоначальных температур  $t_1$  и  $t_2$  также оказывается приближенным [1, 2]. Причем, чем больше реально существующие относительные потери теплоты  $\Delta Q_t/(Q_t + \Delta Q_t)$ , тем больше погрешности таких расчетов.

Между тем хорошо известно, что ряд спецпомещений, в том числе центральные и индивидуальные теплопункты, оборудованные теплообменниками, «отапливается» именно за счет теплопотерь последних. Поэтому вопрос усовершенствования существующего метода расчета теплообменников с учетом теплопотерь в окружающую среду отвечает актуальным задачам энергосбережения.

В отличие от предыдущих исследований [3] в данной работе более детально рассматривается механизм теплообмена между теплоносителями ( $W_1$  и  $W_2$ ) в теплообменнике и с окружающей средой. Это схематически отображено на рис. 1 для ВАР-1 и ВАР-2. Согласно ВАР-1 предусматривается случай, когда с окружающей средой граничит «холодный» теплоноситель  $W_2$ . Суммарный вектор теплоты в количестве  $Q_t + \Delta Q_t$  от «горячего» теплоносителя направлен в сторону «холодного» и окружающей среды. Согласно ВАР-2 от «горячего» теплоносителя направляются два вектора в разные стороны: один – в количестве  $Q_t$  в сторону «холодного» теплоносителя, а другой –  $\Delta Q_t$  в противоположном направлении, а именно в сторону окружающей среды. Это дает основание к записям соответствующих дифференциальных уравнений, отвечающих указанным механизмам отвода теплоты от теплообменника в окружающую среду по ВАР-1 и ВАР-2.

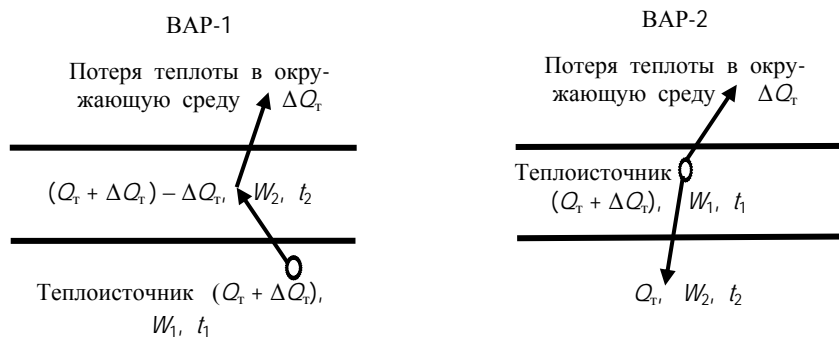


Рис. 1. Механизм теплообмена между теплоносителями ( $W_1$  и  $W_2$ ) в теплообменнике и с окружающей средой по ВАР-1 и ВАР-2

Связь между изменениями теплоты  $Q_t$ ,  $\Delta Q_t$  и температурами теплоносителей  $t_1$  и  $t_2$  в произвольном сечении  $X$  любого теплообменника по ВАР-1 и ВАР-2 выразим следующим образом:

$$dQ_{tx} + d\Delta Q_{tx} = d(Q_t + \Delta Q_t)_x = -W_1 dt_{1x} = \pm W_2 dt_{2x} + d\Delta Q_{tx}. \quad (8)$$

На основании (8) запишем:

$$dt_{1x} = -W_1^{-1} d(Q_{tx} + \Delta Q_{tx}); \quad (9)$$

$$dt_{2x} = \pm W_2^{-1} dQ_{tx}. \quad (10)$$

Выражения (9), (10) позволяют определить локальный температурный напор между двумя теплоносителями в теплообменнике на участке  $dX$

$$dt_{1x} - dt_{2x} = d(t_1 - t_2)_x = -(W_1^{-1} \pm W_2^{-1}) dQ_{tx} - W_1^{-1} d\Delta Q_{tx}. \quad (11)$$

В уравнениях (8)–(11) в случае прямоточного (П) теплообменника вместо знака « $\pm$ » учитывается знак « $+$ », в случае противоточного (Z) – знак « $-$ ».

Показатель  $\Delta Q_{tx}$  в (11) представляет собой некоторую функцию, изменяющуюся по мере подогрева одного теплоносителя за счет другого. В классической теории теплообмена [2, 4, 5] эта функция  $\Delta Q_{tx}$  по тракту теплообменника определяется граничными условиями теплообмена 1, 2 или 3-го рода. Это отдельный вопрос исследования применительно к рассматриваемой задаче. Поэтому в данном случае в целях упрощения решения ограничимся упомянутыми условиями теплообмена 2-го рода. Из этого следует, что в (11) удельная плотность теплопотерь на поверхности теплообменника  $q = \Delta Q_{tx}/F_x = \text{const}$ , где  $F_x$  – суммарная поверхность теплообмена на участке от  $X = 0$  до произвольного сечения  $X$  по тракту теплообмена. Допуская, что поверхность  $F_x$  определяется линейной зависимостью на участке длиной  $0 - X$ , можем записать  $\Delta Q_{tx} = \Delta Q_t F_x F^{-1}$ . Соответственно

$$d\Delta Q_{tx} = \Delta Q_t F^{-1} dF_x. \quad (12)$$

С учетом зависимостей (4), (5) и (12) уравнение (11) представим в виде

$$d(t_1 - t_2)_x = -m_{nz} dQ_{tx} - W_1^{-1} \Delta Q_t F^{-1} dF_x. \quad (13)$$

Формула (13) представляет собой уравнение теплового баланса теплообменника с механизмами теплообмена как по ВАР-1, так и по ВАР-2. В то же время упомянутые механизмы теплообмена (рис. 1) учитываются аналогичными уравнениями теплопередачи:

- согласно ВАР-1

$$dQ_{tx} = [k(t_1 - t_2)_x - \Delta Q_t F^{-1}] dF_x; \quad (14)$$

- согласно ВАР-2

$$dQ_{tx} = k(t_1 - t_2)_x dF_x. \quad (15)$$

Дальнейшие результаты анализа основаны на совместных решениях уравнений (13) и (14) для ВАР-1 и (13), (15) – для ВАР-2. Соответственно имеем:

$$d(t_1 - t_2)_x = [-m_{nz} k(t_1 - t_2)_x + \Delta Q_t F^{-1} (m_{nz} - W_1^{-1})] dF_x; \quad (16)$$

$$d(t_1 - t_2)_x = [-m_{nz} k(t_1 - t_2)_x - \Delta Q_t W_1^{-1} F^{-1}] dF_x. \quad (17)$$

Интегрируя выражения (16) и (17) в пределах от начального сечения теплообменника ( $X = 0$ ), где  $F_x = 0$  и  $(t_1 - t_2)_x = \Delta t'_{nz}$  до произвольного сечения  $X$ , где  $F_x = F_x$  и  $(t'_1 - t'_2)_x = \Delta t''_x$ , получаем:

- согласно ВАР-1

$$\frac{m_{nz}kF\Delta t''_x - \Delta Q_t(m_{nz} - W_1^{-1})}{m_{nz}kF\Delta t'_{nz} - \Delta Q_t(m_{nz} - W_1^{-1})} = E_{nz}^x; \quad (18)$$

- согласно ВАР-2

$$\frac{m_{nz}kF\Delta t''_x + \Delta Q_t W_1^{-1}}{m_{nz}kF\Delta t'_{nz} + \Delta Q_t W_1^{-1}} = E_{nz}^x. \quad (19)$$

В отличие от  $E_{nz} = \exp(-m_{nz}kF)$ , в уравнениях (18) и (19)  $E_{nz}^x = \exp(-m_{nz}kF_x)$ .

Интегрируя функцию  $\Delta t''_x$ , относящуюся к произвольному сечению  $X$  на участке от  $X = 0$ , т. е. от  $F_x = 0$  до  $X = X$  при  $F_x = F_x$ , получаем выражение для среднеинтегрального температурного напора между двумя теплоносителями на участке теплообменника от  $X = 0$  до произвольного сечения  $X = X$ :

- согласно ВАР-1

$$\begin{aligned} \Delta\tau_x = & (m_{nz}kF_x)^{-1} [\Delta t'_{nz} - \Delta Q_t(m_{nz} - W_1^{-1})(m_{nz}kF)^{-1}] (1 - E_{nz}^x) + \\ & + \Delta Q_t(m_{nz} - W_1^{-1})(m_{nz}kF)^{-1}; \end{aligned} \quad (20)$$

- согласно ВАР-2

$$\begin{aligned} \Delta\tau_x = & (m_{nz}kF_x)^{-1} [\Delta t'_{nz} + \Delta Q_t(W_1 m_{nz}kF)^{-1}] (1 - E_{nz}^x) - \\ & - \Delta Q_t(W_1 m_{nz}kF)^{-1}. \end{aligned} \quad (21)$$

С учетом (18), (19) расчетные формулы (20), (21) можно представить в виде:

- согласно ВАР-1

$$\begin{aligned} \Delta\tau_x = & (m_{nz}kF_x)^{-1} (\Delta t'_{nz} - \Delta t''_x) + \Delta Q_t(m_{nz} - W_1^{-1})(m_{nz}kF)^{-1} = \\ = & (\Delta t''_x - \Delta t'_{nz}) \ln^{-1} \frac{m_{nz}kF\Delta t''_x - \Delta Q_t(m_{nz} - W_1^{-1})}{m_{nz}kF\Delta t'_{nz} - \Delta Q_t(m_{nz} - W_1^{-1})} + \Delta Q_t(m_{nz} - W_1^{-1})(m_{nz}kF)^{-1}; \end{aligned} \quad (22)$$

- согласно ВАР-2

$$\begin{aligned} \Delta\tau_x = & (m_{nz}kF_x)^{-1} (\Delta t'_{nz} - \Delta t''_x) - \Delta Q_t(W_1 m_{nz}kF)^{-1} = \\ = & (\Delta t''_x - \Delta t'_{nz}) \ln^{-1} \frac{m_{nz}kF\Delta t''_x + \Delta Q_t W_1^{-1}}{m_{nz}kF\Delta t'_{nz} + \Delta Q_t W_1^{-1}} - \Delta Q_t(W_1^{-1} m_{nz}kF)^{-1}. \end{aligned} \quad (23)$$

В пределах, когда  $\lim_{F_x \rightarrow F} \Delta t''_x = \Delta t''_{nz}$ ,  $\lim_{F_x \rightarrow F} E_{nz}^x = E_{nz}$  и

$\lim_{F_x \rightarrow F} \Delta\tau_x = \Delta\tau_{nz}$ , полученные результаты легко преобразуются в расчетные формулы для теплообменника в целом. При этом следует иметь в виду сложившиеся традиционные обозначения: в прямоточных ( $\Pi$ ) теплообменниках  $\Delta t'_n = t'_1 - t'_2$ ,  $\Delta t''_n = t''_1 - t''_2$ ; в противоточных ( $Z$ ) –  $\Delta t'_z = t'_1 - t'_2$ ,  $\Delta t''_z = t''_1 - t''_2$ .

Путем выкладок и с учетом уравнения теплового баланса (1) на основании уравнений (22) и (23) убеждаемся, что в соответствии с моделями теплообменников (рис. 1):

- по ВАР-1

$$\Delta\tau_{nz}kF = Q_r + \Delta Q_r = W_1(t'_1 - t''_1) = Q^{\text{op}}; \quad (24)$$

- по ВАР-2

$$\Delta\tau_{nz}kF = Q_r = W_2(t''_2 - t'_2) = Q^{\text{het}}. \quad (25)$$

В аналитическом плане уравнение теплового баланса (1) представляет собой функцию

$$f_{\text{тб}}(t'_1, t'_2, t''_1, t''_2, W_1, W_2, \Delta Q_r) = 0. \quad (26)$$

Уравнения «конечных» температур, полученные на основании (18), (19) для подогревателей в целом (при  $F_x = F$ ;  $\Delta t''_x = \Delta t''_{nz}$ ;  $E_{nz}^x = E_{nz} = \exp(-m_{nz}kF)$ ), представляют аналогичные функции

$$f_{\text{кт}}(kF, t'_1, t'_2, t''_1, t''_2, W_1, W_2, \Delta Q_r) = 0. \quad (27)$$

Как видно, система, состоящая из двух уравнений (26), (27), т. е. теплового баланса (1) и «конечных» температур (18), (19), решается относительно любых двух (определенных в соответствии с постановкой задачи) аргументов или образуемых ими комплексов.

В порядке примера рассмотрим наиболее распространенную постановку задачи: определение выходных («конечных») температур в подогревателе  $t''_1$  и  $t''_2$  по данным температур  $t'_1$ ,  $t'_2$  на входе и заданным значениям остальных аргументов, входящих в (26), (27). Тогда на основании совместного решения уравнений (1), (18) и (1), (19) при указанных выше граничных условиях для теплообменника в целом (типов П и  $\mathcal{Z}$ ), выполненных по моделям теплообмена в соответствии с ВАР-1 и ВАР-2, определяем:

$$t''_1 = t'_1 - (t'_1 - t'_2) L_{nz} \pm \Delta Q_r W_1^{-1} (W_2 R_{nz} \pm 1); \quad (28)$$

$$t''_2 = t'_2 + (t'_1 - t'_2) W_1 W_2^{-2} L_{nz} \pm \Delta Q_r R_{nz}, \quad (29)$$

где

- Согласно ВАР-1

$$R_n = (W_1 + W_2)^{-1} [1 + W_1^2 (W_1 + W_2)^{-1} (kF)^{-1} (1 - E_n)]; \quad (30)$$

$$R_z = [W_1^{-1} + W_1 (W_1 - W_2)^{-1} (kF)^{-1} (1 - E_z)] (E_z - W_2 W_1^{-1})^{-1}; \quad (31)$$

- Согласно ВАР-2

$$R_n = (W_1 + W_2)^{-1} [1 - W_1 W_2 (W_1 + W_2)^{-1} (kF)^{-1} (1 - E_n)]; \quad (32)$$

$$R_z = [W_1^{-1} + W_2 (W_1 - W_2)^{-1} (kF)^{-1} (1 - E_z)] (E_z - W_2 W_1^{-1})^{-1}. \quad (33)$$

Для прямоточных подогревателей (П) в формуле (28) перед сомножителем  $\Delta Q_r$  стоит знак «+», а перед единицей – знак «-»; для противоточных подогревателей ( $\mathcal{Z}$ ) – наоборот: перед  $\Delta Q_r$  стоит знак «-», а перед единицей – знак «+».

цей – знак «+». В формуле (29) для прямоточных подогревателей ( $\Pi$ ) перед сомножителем  $\Delta Q_t$  стоит знак «-», а для противоточных ( $Z$ ) – наоборот: знак «+». Традиционные показатели [1, 2]  $L_n$  и  $L_z$ , входящие в (28), (29), вычисляются по (6), (7).

Для противоточных ( $Z$ ) теплообменников при значениях  $W_1 = W_2 = W$  расчет ряда показателей приводит к неопределеностям типа 0/0, которые следует раскрывать. В частности, расчет предельных значений температур  $t''_1$  и  $t''_2$  выполняется по тем же формулам (28) и (29) путем раскрытия неопределенностей типа 0/0 показателей  $L_z$  и  $R_z$ . При этом следует иметь в виду, что для обоих вариантов ВАР-1 и ВАР-2 согласно формуле (7)

$$\lim_{W_1 \rightarrow W_2} L_z = L_z^0 = [1 + W(kF)^{-1}]^{-1}; \quad (34)$$

а на основании формул (31), (33):

- Согласно ВАР-1

$$\lim_{W_1 \rightarrow W_2} R_z = R_z^0 = -(1 + 0.5kFW^{-1})(kF + W)^{-1}; \quad (35)$$

- Согласно ВАР-2

$$\lim_{W_1 \rightarrow W_2} R_z = R_z^0 = -0.5kFW_1^{-1}(kF + W)^{-1}. \quad (36)$$

На основании (24), (25) и предельных значений перепадов температур  $(t'_1 - t''_1)$ ,  $(t''_2 - t'_2)$  согласно формулам (28), (29) при  $L_z = L_z^0$  и  $R_z = R_z^0$  аналогично определяем

$$\lim_{W_1 \rightarrow W_2} \Delta \tau_z = \Delta \tau_z^0 = (t'_1 - t'_2)(1 + kFW^{-1})^{-1} \pm 0.5\Delta Q_t(kF + W)^{-1}, \quad (37)$$

где в случае ВАР-1 перед показателем  $\Delta Q_t$  в формуле (37) стоит знак «+», а в случае ВАР-2 – знак «-».

Уравнения (26), (27) могут быть использованы также для определения таких характеристик теплообменника, как комплекс  $kF$  и абсолютная величина теплопотерь  $\Delta Q_t$ . Кроме того, в порядке варианта решения такой задачи можно воспользоваться полученными выше формулами (28), (29), представляющими собой следующие аргументированные функции:

$$f_1 = (t''_1, t'_1, t'_2, W_1, W_2, kF, \Delta Q_t) = 0; \quad (38)$$

$$f_2 = (t''_2, t'_1, t'_2, W_1, W_2, kF, \Delta Q_t) = 0. \quad (39)$$

На основании последних, т. е. (28), (29), имея в виду, что  $(\Delta Q_t)_1 = (\Delta Q_t)_2 = \Delta Q_t$ , соответственно определяем:

$$(\Delta Q_t)_1 = \pm \frac{t''_1 - t'_1 + (t'_1 - t'_2)L_{nz}}{W_1^{-1}(W_2 R_{nz} \pm 1)} = f(kF); \quad (40)$$

$$(\Delta Q_t)_2 = \pm [t'_2 - t''_2 + (t'_1 - t'_2)W_1 W_2 L_{nz}] R_{nz}^{-1} = f(kF). \quad (41)$$

Знаки «+» в уравнениях (40), (41) и «-» перед единицей в уравнении (40) указывают на то, что они относятся к случаю измерений и расчета прямоточных ( $\Pi$ ) подогревателей. Для противоточных ( $Z$ ) подогревателей – наоборот. На основании (40), (41) путем приравнивания между собой показателей  $(\Delta Q_t)_1 = (\Delta Q_t)_2 = \Delta Q_t$  получаем одно трансцендентное уравнение, которое легко решается с помощью компьютера. Далее по одной из формул (40) или (41) вычисляется величина  $\Delta Q_t$  и соответственно с помощью формул (2) и (1) определяется тепловой КПД  $\eta_t$  исследуемого подогревателя.

Наряду с использованием уравнения «конечных» температур (18), (19) показатель  $kF$  может быть вычислен также на основании совместного решения уравнений теплового баланса (1) и среднеинтегрального температурного напора (20)–(25) и т. д.

Актуальность разработанной методики расчета режимов работы теплообменников типа «труба в трубе», адекватных модели теплообмена по ВАР-1 и используемых в ряде ЦТП для горячего водоснабжения, очевидна. На ее основании (по ВАР-1) были сделаны также исследования [6] режимов работы теплопровода типа «труба в трубе», т. е. теплообменника с тремя рабочими каналами: центральной трубой и двумя кольцевыми каналами. Здесь в «особом» положении оказывается средний (первый от трубы) кольцевой канал: со стороны центральной трубы его пристеночное температурное поле формируется противоточным ( $Z$ ) движением обоих теплоносителей, а со стороны второй кольцевой трубы прямоточным ( $\Pi$ ) движением обоих теплоносителей. Программные средства 2T4K, 2T5K и другие [6] являются примерным подтверждением того, что принцип методики расчета теплопотерь в трех- и многоканальных теплообменниках может быть успешно использован при условии соответствующего (посекционного) учета конструктивной и структурной (в частности, « $\Pi$ » или « $Z$ ») схем исследуемых теплообменников, даже если они и пластинчатого типа. Что касается последних с систематическим чередованием каналов «горячих» и «холодных» теплоносителей (движущихся относительно друг друга по схемам « $\Pi$ » или « $Z$ »), то в этом случае расчет их следует выполнять «посекционно» в зависимости от того, какой из рабочих каналов («горячий» или «холодный») граничит с окружающей средой. В случае, если по крайним каналам, граничащим с окружающей средой, проходит «холодный» теплоноситель, то поперечная область теплообмена от прилегающей к нему половины «горячего» канала до окружающей (после теплоизоляции) среды рассчитывается по ВАР-1 при условии  $\Delta Q_t \neq 0$ . Остальные промежуточные области (по половинам каналов) «горячих» и «холодных» теплоносителей рассчитываются также по ВАР-1, но при условии, что  $\Delta Q_t = 0$ . В случае, если по крайним каналам, граничащим с окружающей средой, проходит «горячий» теплоноситель, то поперечная область теплообмена от прилегающей к нему половины «холодного» канала до окружающей (после теплоизоляции) среды рассчитывается по ВАР-2 при условии  $\Delta Q_t \neq 0$ . Остальные промежуточные области (по половинам каналов) «горячих» и «холодных» теплоносителей рассчитываются по ВАР-1, но при условии  $\Delta Q_t = 0$ .

Расчет многоканального теплообменника, представляющего собой систему набора коаксиальных труб, выполняется аналогичным образом в зависимости от конструктивной модели теплообмена между наружным кольцевым каналом и окружающей средой: по ВАР-1 или ВАР-2.

Следует заметить, что даже при удовлетворительном состоянии тепловой изоляции влияние реальных теплопотерь существенно оказывается на таком показателе теплообменника, как тепловой коэффициент полезного действия  $\eta_t$ . При режимах теплообменника, отличных от оптимального (с той же теплоизоляцией), его теплопотери  $P$  могут составлять не 1–2 %, как это принимается в ориентировочных расчетах, т. е.  $\eta_t = 1 - 0,01P = 0,99 - 0,98$ , а 20 % и даже выше. При исключительно неблагоприятных условиях они «стремятся» к 100 %. Эта особенность теплообменника определяется формулами (3) и (4) в [3], а также видна по результатам примерных расчетов, приведенных в табл. 1.

Таблица 1

**Результаты примерных расчетов**

1. Теплообменник: схема движения потоков  $Z$ , «МодРас» по ВАР-1:  $\Delta\tau_z kF = Q^{\text{сп}}$

Обозначение	$G_1$	$G_2$	$kF$	$t'_1$	$t'_2$	$t''_1$	$t''_2$	$P$	$\eta_t$	$\eta_z$
Реж. 1 «МодРас»	0,275	1,100	348,9	120,0	15,0	50,68	19,92	71,61	0,284	0,660
						54,06	31,49	0,00	1,000	0,628
						17,53	19,24	71,61	0,583	0,976
Реж. 2 «МодРас»	10,000	5,000	23260,0	120,0	40,0	41,67	61,22	86,46	0,135	0,979
						82,90	114,19	0,00	1,000	0,464
						40,00	51,62	86,46	0,536	1,000
Размерность	т/ч	т/ч	Bt/°C	°C	°C	°C	°C	%	—	—

2. Теплообменник: схема движения потоков  $Z$ , «МодРас» по ВАР-2:  $\Delta\tau_z kF = Q^{\text{нег}}$

Обозначение	$G_1$	$G_2$	$kF$	$t'_1$	$t'_2$	$t''_1$	$t''_2$	$P$	$\eta_t$	$\eta_z$
Реж. 1 «МодРас»	0,275	1,100	348,9	120,0	15,0	22,73	27,15	50,03	0,500	0,926
						54,06	31,49	0,00	1,000	0,628
						28,16	22,65	50,03	0,667	0,875
Реж. 2 «МодРас»	10,000	5,000	23260,0	120,0	40,0	41,72	98,59	62,58	0,374	0,978
						82,90	114,19	0,00	1,000	0,464
						42,48	75,69	62,58	0,615	0,969
Размерность	т/ч	т/ч	Bt/°C	°C	°C	°C	°C	%	—	—

3. Теплообменник: схема движения потоков  $\Pi$ , «МодРас» по ВАР-1:  $\Delta\tau_\Pi kF = Q^{\text{сп}}$

Обозначение	$G_1$	$G_2$	$kF$	$t'_1$	$t'_2$	$t''_1$	$t''_2$	$P$	$\eta_t$	$\eta_z$
Реж. 1 «МодРас»	0,275	1,100	348,9	120,0	15,0	52,93	19,23	74,77	0,252	0,639
						57,48	30,63	0,00	1,000	0,595
						19,81	18,62	74,77	0,572	0,954
Реж. 2 «МодРас»	10,000	5,000	23260,0	120,0	40,0	63,55	45,50	95,13	0,049	0,706
						93,40	93,20	0,00	1,000	0,333
						43,81	43,81	95,13	0,512	0,952
Размерность	т/ч	т/ч	Bt/°C	°C	°C	°C	°C	%	—	—

4. Теплообменник: схема движения потоков  $\Pi$ , «МодРас» по ВАР-2:  $\Delta\tau_\Pi kF = Q^{\text{нег}}$

Обозначение	$G_1$	$G_2$	$kF$	$t'_1$	$t'_2$	$t''_1$	$t''_2$	$P$	$\eta_t$	$\eta_z$
Реж. 1 «МодРас»	0,275	1,100	348,9	120,0	15,0	38,82	27,97	36,11	0,639	0,773
						57,48	30,63	0,00	1,000	0,595
						39,97	24,39	36,11	0,735	0,762
Реж. 2 «МодРас»	10,000	5,000	23260,0	120,0	40,0	92,54	92,54	4,34	0,957	0,343
						93,40	93,20	0,00	1,000	0,333
						91,84	91,63	4,34	0,958	0,352
Размерность	т/ч	т/ч	Bt/°C	°C	°C	°C	°C	%	—	—

Легко убедиться в том, что в случае пренебрежения величиной теплопотерь, т. е. при  $\Delta Q_t = 0$ , приведенные расчетные формулы обращаются в общезвестные аналогичные зависимости, представленные [1, 2].

В случае практической необходимости задача по учету теплопотерь  $\Delta Q_t$  может быть аналогичным образом рассмотрена при граничных условиях 1-го и 3-го рода. Введение дополнительных функций  $\Delta Q_t = f(X)$ , отвечающих граничным условиям 1-го и 3-го рода, скажется только на промежуточных значениях температур в теплообменнике. Для теплообменника в целом (при  $F_x = F$ ;  $\Delta \tau_x = \Delta \tau_{nz}$  и т. д.) влияние указанных изменений на итоговые результаты расчетов ожидается несущественное.

Для смешанных подогревателей в любом случае выполняются расчеты по двум «противоположным» схемам ( $\Pi$ ) и ( $Z$ ). Далее проводятся соответствующие корректировки полученных результатов расчета путем учета упомянутых выше «коэффициентов влияния»  $\beta_n$  или  $\beta_z$ .

В табл. 1 даны результаты примерных расчетов выходных температур  $t_1''$ ,  $t_2''$ , вычисленных тремя способами: 1 – «МодРас» – по методу, изложенному в данной статье; 2 – «БезПот» – по известному традиционному методу [1, 2] без учета теплопотерь; 3 – «Уч.Пот» – по методу ориентировочного учета теплопотерь [1]. Метод расчета «Уч.Пот» основан на введении гипотетических поправок к водяным эквивалентам теплоносителей, т. е. путем замены реально существующих водяных эквивалентов обоих теплоносителей на «расчетные», вычисляемые по формуле  $W_{1,2}^0 = W_{1,2} (1 \pm P/100)$ . Здесь  $P$  – относительная (%) величина абсолютных теплопотерь  $\Delta Q_t$  через поверхность теплообменника в сравнении с теплотой, генерируемой «горячим» теплоносителем:  $P = 100 \Delta Q_t / \Delta Q_t + Q_t$ . После определения показателей  $W_{1,2}^0$  дальнейший расчет по методу «Уч.Пот» идентичен расчету по методу «БезПот». Исходные данные (в реж. 1, 2) при выполнении расчетов следующие: массовые расходы «горячего» ( $G_1$ ) и «холодного» ( $G_2$ ) теплоносителей, их температуры на входе  $t_1$ ,  $t_2$  и комплекс  $kF$ . При расчете по методу «БезПот» показатель  $P = 0$ , а при расчете по методу «Уч.Пот» показатель  $P$  принимается равным соответствующему показателю  $P$ , вычисленному по методу «МодРас». Это, к сожалению, не соответствует уравнению теплового баланса (1) при  $W_1 = W_1^0$  и  $W_2 = W_2^0$ . Таким образом, с помощью данных, приведенных в табл. 1, имеется возможность произвести сопоставление и оценить эффективность трех упомянутых способов расчета теплообменников. Из учета целенаправленности данной статьи преимущества метода «МодРас» очевидны.

## ВЫВОДЫ

1. Разработан метод расчета и соответствующий программный файл по исследованию среднеинтегрального температурного напора и конечных температур двух теплоносителей (движущихся относительно друг к другу по схемам « $\Pi$ » и « $Z$ ») с учетом теплопотерь в окружающую среду.

2. Показано, что классическая задача по изучению процессов теплообмена между двумя основными теплоносителями в обязательном порядке должна предусматривать также учет механизма их теплообмена (по ВАР-1, ВАР-2) с третьим, т. е. виртуальным теплоносителем, именуемым окружающей средой.

3. С позиций традиционного рассмотрения двух (холодного и горячего) теплоносителей учет реальных теплопотерь позволяет:

- более детально рассмотреть и изучить механизм теплообмена между теплоносителями в зависимости от их расположения между собой и по отношению к окружающей среде, т. е. по ВАР-1 или ВАР-2;

- окружающую среду рассматривать в качестве дополнительного виртуального теплоносителя с граничными условиями теплообмена 1-го, 2-го и 3-го рода;

- увязать между собой такие понятия, как тепловой коэффициент полезного действия теплообменника  $\eta_r$  и коэффициент использования температурного потенциала  $\eta_{pz}$  горячего теплоносителя.

4. Акцентировано внимание на том, что путем введения упомянутых коэффициентов  $\beta_n$  и  $\beta_z$  разработанный метод расчета применим для теплообменников смешанного типа в плане размещения потоков по схемам «П» и « $Z$ ».

5. Результаты выполненного исследования следует рассматривать как начало для:

- дальнейшего пополнения и усовершенствования общепризнанной методики расчета теплообменников, изложенной в ряде учебников и методической литературе;

- дальнейшего изучения среднеинтегрального метода расчета теплообменников с тремя и большим числом теплоносителей, а также теплообменников батарейного типа, например типа «труба в трубе»;

- разработки унифицированного метода расчета теплообменников с теплоносителями,ключенными по смешанным схемам «П» и « $Z$ ».

## ЛИТЕРАТУРА

1. Михеев, М. А. Основы теплопередачи / Б. А. Байрашевский, Н. П. Борушко. – М., 1973. – С. 228–242.
2. Исаchenko, B. P. Теплопередача / B. P. Isaichenko, B. A. Osipova, A. C. Sukomel. – M., 1969. – С. 133, 134, 398–410.
3. Байрашевский, Б. А. Влияние теплопотерь в окружающую среду на температурный режим работы теплообменников / Б. А. Байрашевский, Н. П. Борушко // Весці НАН Беларусі. Сер. ФТН. – 2000. – № 2. – С. 153–155.
4. Петухов, Б. С. Теплообмен и сопротивление при ламинарном течении жидкости в трубах / Б. С. Петухов. – М., 1967. – С. 209, 210.
5. Жуковский, В. С. Основы теории теплопередачи / В. С. Жуковский. – Л., 1969. – С. 21, 22.
6. Байрашевский, Б. А. Теплопровод «труба в трубе» как альтернативный вариант двухтрубной прокладки / Б. А. Байрашевский, Н. П. Борушко // Энергетика... (Изв. высш. учеб. заведений и энерг. объединений СНГ). – 2006. – № 1. – С. 72–76.

Поступила 28.12.2006